

TAREA 4: Circuitos de Control y

Conmutación

1.- INTRODUCCIÓN

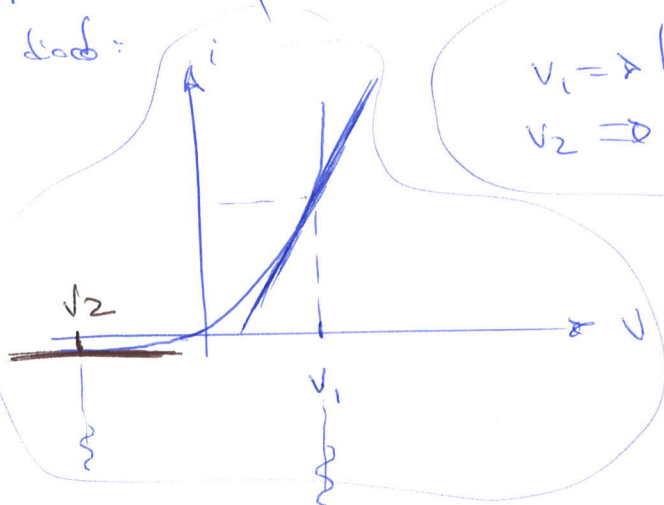
Diferentes tipos:

- Contadores: función lógica de un sitio a otro
- Aumentadores variables
- Decrementadores variables

Dispositivo usado desde siempre → Lata pin

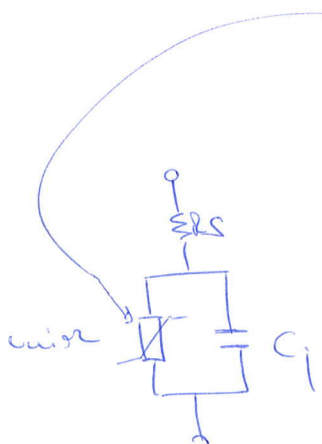
- ✓ Velocidad de respuesta alta
- ✓ Baja velocidad posada

Característica de un latao:



$V_1 \Rightarrow$ bajo impedancia
 $V_2 \Rightarrow$ alta impedancia

(bambao discreto)



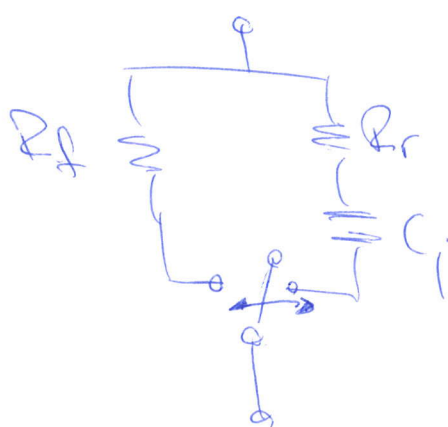
• bajo impedancia \Rightarrow



• alta impedancia \Rightarrow

$C_{if} \Rightarrow$ si i_f es grande alta impedancia \Rightarrow

- modo de vario e var:

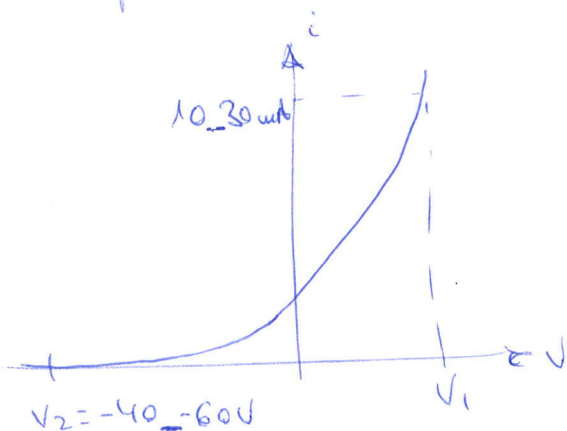


R_f = resistencia de inversa
 R_f = resistencia en directa

Polarización inversa $\rightarrow -40 \text{--} 60 \text{ V}$

Polarización Directa $\rightarrow I_{Dg} = 10 \text{--} 30 \text{ mA}$

R_f cambia mucho en la zona directa (\rightarrow elevando variables)



CONVERTIDOR

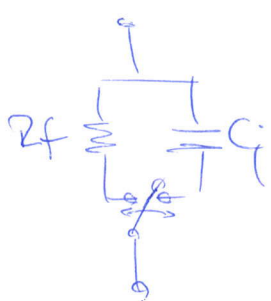
Valores típicos:

$$R_f = 5 \Omega \quad \leftarrow \text{muchas veces lo despreciamos respecto a } C_j$$

$$C_j = 91 \text{ pF}$$

$$R_f = 1 \Omega$$

CONEXIONES:

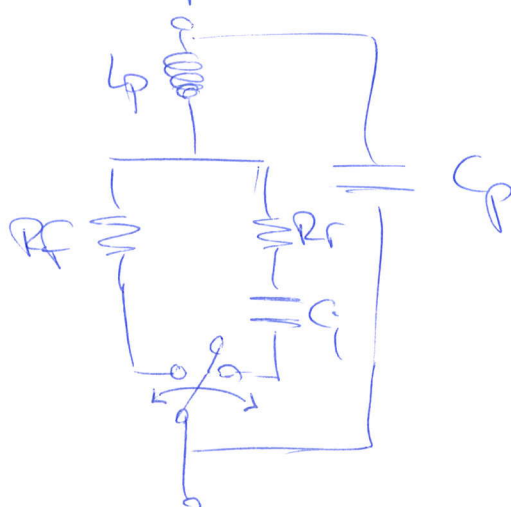


RESISTENCIA PARASITARIA:



$$R_f \approx \frac{k}{I_{pol}}$$

Pista encapsulada:



Frecuencia de corte:

$$f_{cs} = \frac{1}{2\pi C_i \sqrt{R_f R_r}}$$

(sin encapsular)

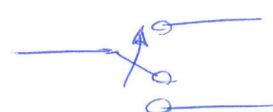
2.- CONEXORES

2.1.- CLASIFICACIÓN

- SPST



- SPDT



Parámetros

Arranques (OFF)

Torpedos de inserción (ON)

$$A = \frac{P_{dg}}{P_{ent. solida}} \Bigg|_{OFF}$$

$$L_I = \frac{P_{dg}}{P_{ent. solida}} \Bigg|_{ON}$$



$$|S_{21}^{ON}|^2 = L_I^{-1} \quad |S_{21}^{OFF}|^2 = A^{-1}$$

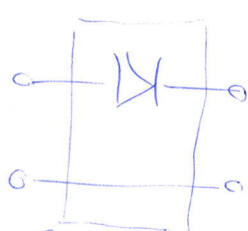
Nos quedan especificar también
diferentes en ON y OFF

\rightarrow S_{11ON}, S_{11OFF}
 \rightarrow S_{22ON}, S_{22OFF}

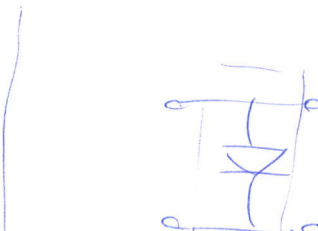
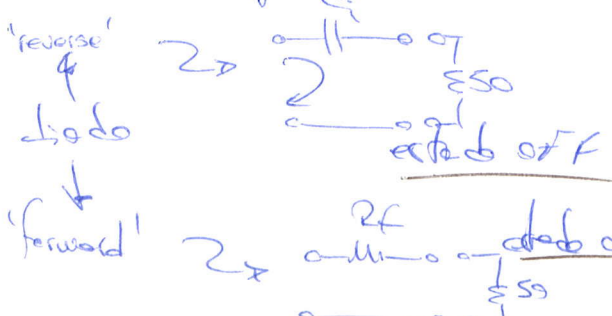
$\rightarrow S_{11ON}, S_{11OFF}$

$\rightarrow S_{22ON}, S_{22OFF}$

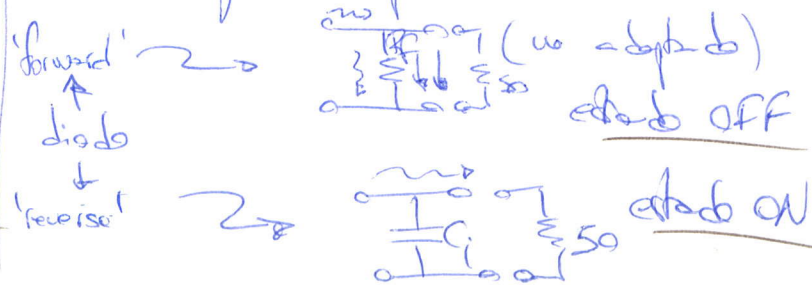
2.2 - SPST con un diodo



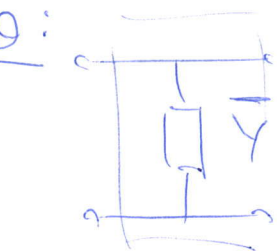
Configuración serie



Configuración paralelo



PARALELO:



$$\Rightarrow S' = \frac{1}{2 + \bar{Y}} \begin{bmatrix} -\bar{Y} & 2 \\ 2 & -\bar{Y} \end{bmatrix}$$

$$\bar{Y} = \frac{Y}{Y_0}$$

$$\left[S_{21} = \frac{2}{2 + \bar{Y}} \right] = \frac{1}{1 + \bar{Y}/2}$$

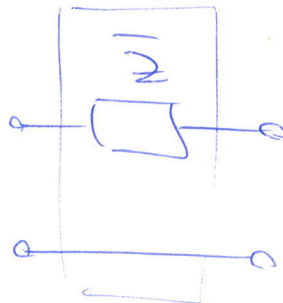
$$A = \left(1 + \frac{Z_0}{2RF} \right)^2$$

$$L_I = \lambda + \left(\omega_0 Z_0 \right)^2$$

Substitute in L frequency

Substitute in G frequency

SERIE:



$$\Rightarrow S' = \frac{1}{2 + \bar{Z}} \begin{bmatrix} \bar{Z} & 2 \\ 2 & \bar{Z} \end{bmatrix}$$

$$\left[S_{21} = \frac{2}{2 + \bar{Z}} \right] = \frac{1}{1 + \bar{Z}/2}$$

$$A = \lambda + \left(\frac{\lambda}{2\omega_0 Z_0} \right)^2$$

$$L_I = \left(\lambda + \frac{RF}{2Z_0} \right)^2$$

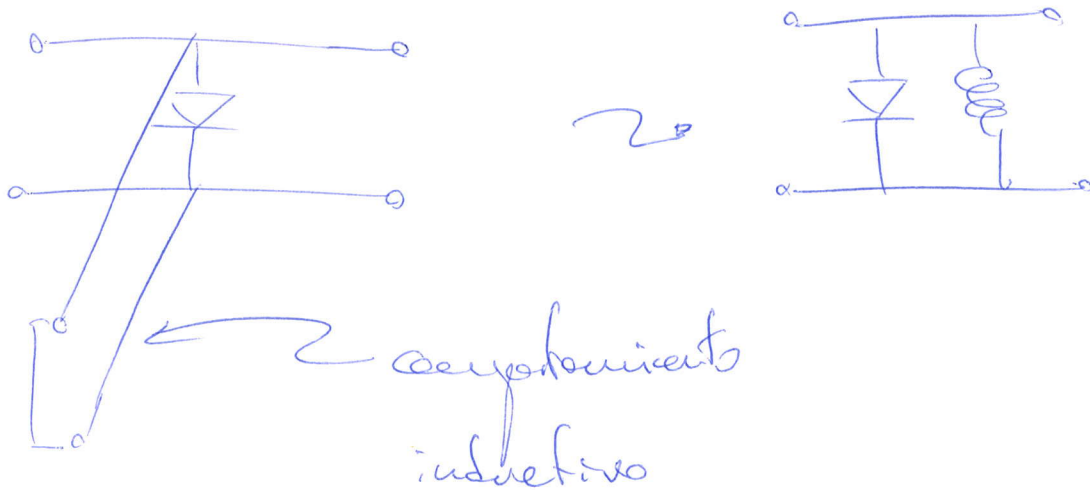
En todos los casos es más importante el cálculo de que los pérdidas de inserción
 \Rightarrow mejor configuración paralela

Problema: x cambio frío y punto seco
 por que el sonido

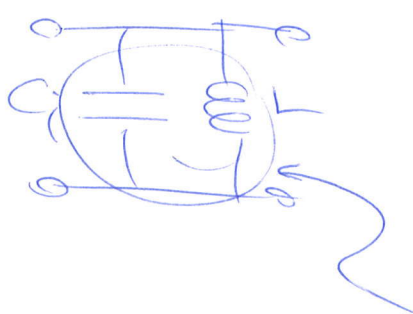
- Disminuir las pérdidas de inserción (paralelo):

\Rightarrow Subir \Rightarrow bocas estrechas

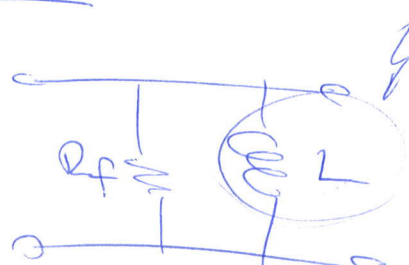
(Compresión de q)



ON:



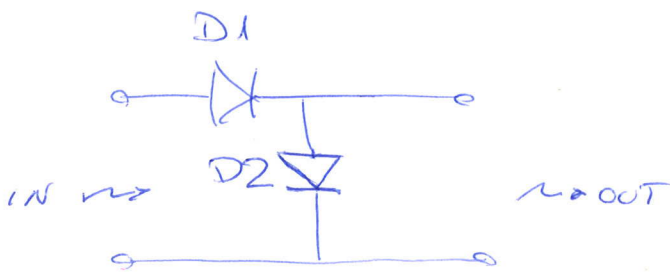
OFF:



resonancia \Rightarrow circuito abierto

2.3 - CORRECTORA SPSS CON 2 DIODOS

✓ Averigua el funcionamiento



D1 directa
D2 inversa } ON

D1 inversa
D2 directa } OFF

Numeros circutarios: MA-47898 $\rightarrow f = 6,37 \text{ GHz}$

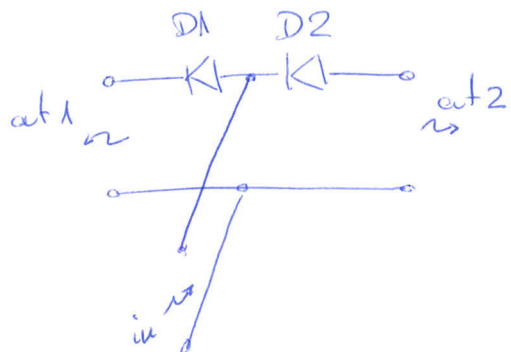
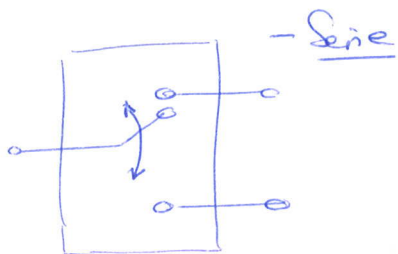
Configuración	L _I	A
2 diodos serie/paralelo	0,11 dB	20,17 dB
serie	0,15 dB	8,29 dB
paralelo	0,06 dB	7,52 dB

Lídos en chip (en europeo)

$A_F = \Delta$ constante etapas serie/paralelo
($\approx 70-89 \text{ dB}$)

2.4.- CONMUTADOR SPDT

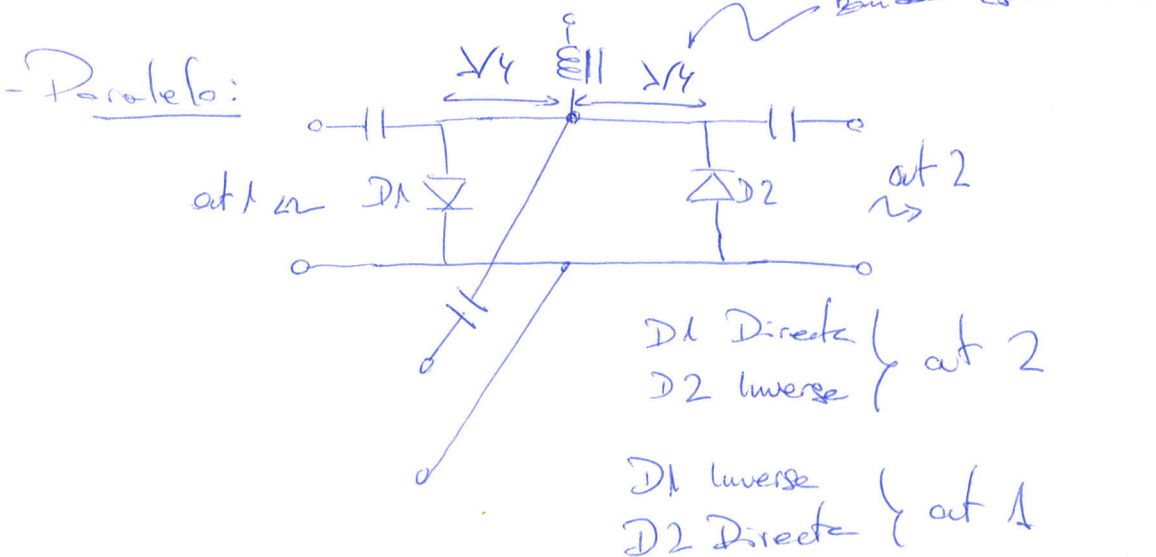
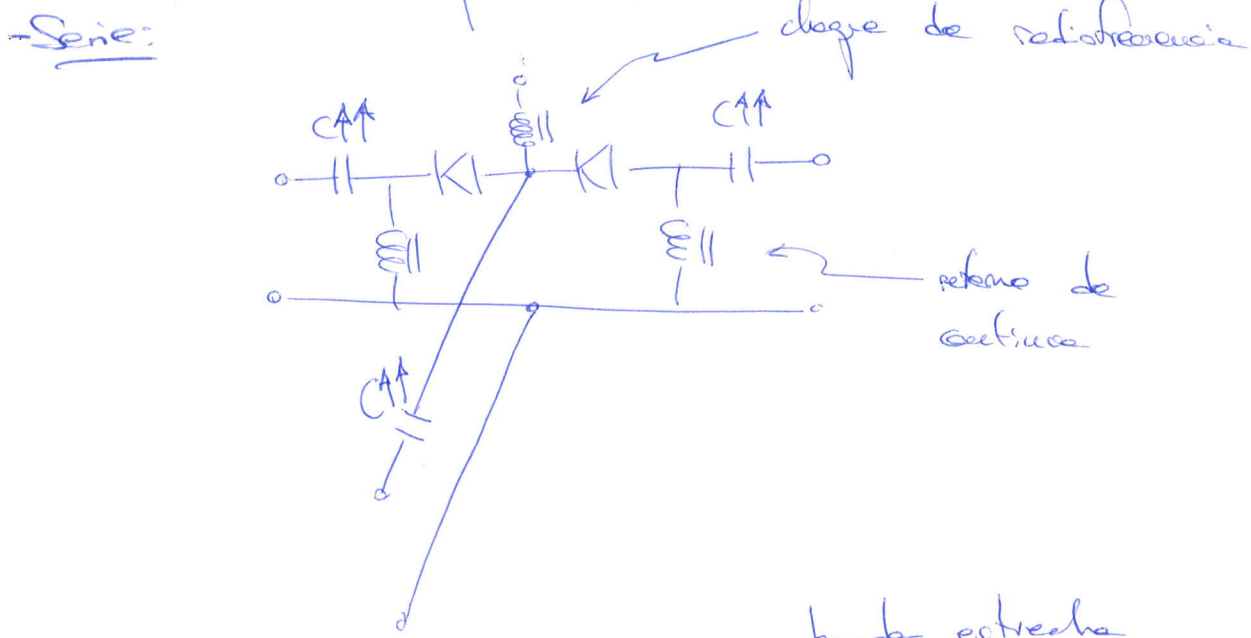
(* 4.5 *)



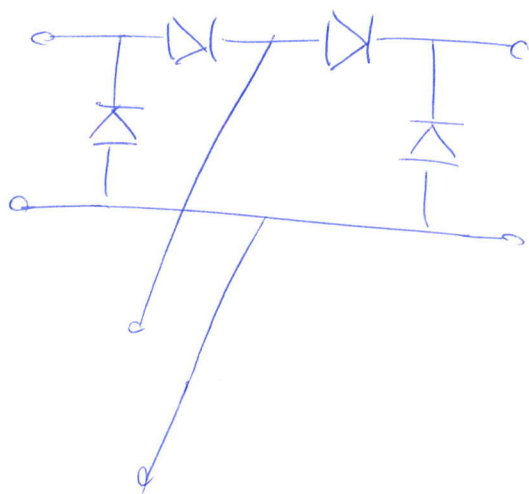
D1 Directa
D2 inversa } \rightarrow out 1

D1 Inversa } \rightarrow out 2
D2 Directa }

Possible circuito de polarización:

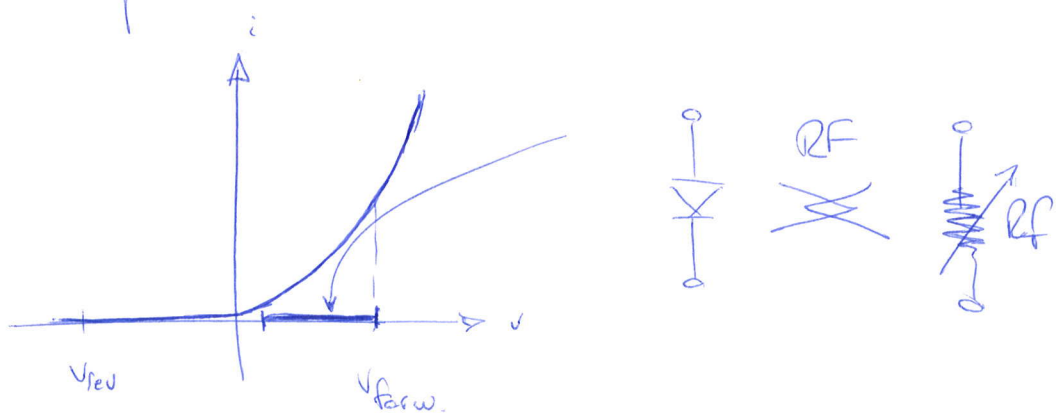


Mejor comportamiento: serie-paralelo



3.- ATENUDADORES VARIABLES

Diódos siempre en directa \Rightarrow resistencia variable



$$I = I_s(e^{\alpha V} - 1) \approx I_s e^{\alpha V}$$

$$\frac{dI}{dV} = I_s e^{\alpha V} \alpha = \alpha I = \underbrace{\left[R_f = \frac{1/\alpha}{I} \right]}_{\text{Feedback resistance}}$$

$$\text{Pad}_{2,0} \left[\begin{array}{c} S \\ \vdots \\ \vdots \\ P_L \end{array} \right] \xrightarrow{\text{ideale}} S = \begin{bmatrix} 0 & S_{12}(V_c) \\ S_{21}(V_c) & 0 \end{bmatrix}$$

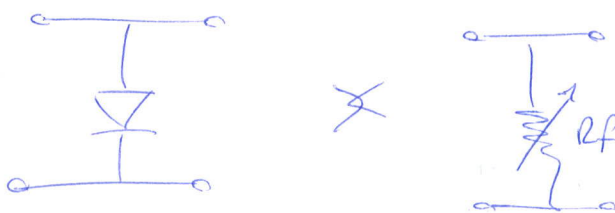
V_c : tensión de control

$S_{11} = S_{22} = 0 \Rightarrow$ tiene que estar adaptado

$$A_f = \frac{P_{dg}}{P_L} = \frac{1}{|S_{21}(V_c)|^2}$$

$$z_1 = z_2 = S_{21}$$

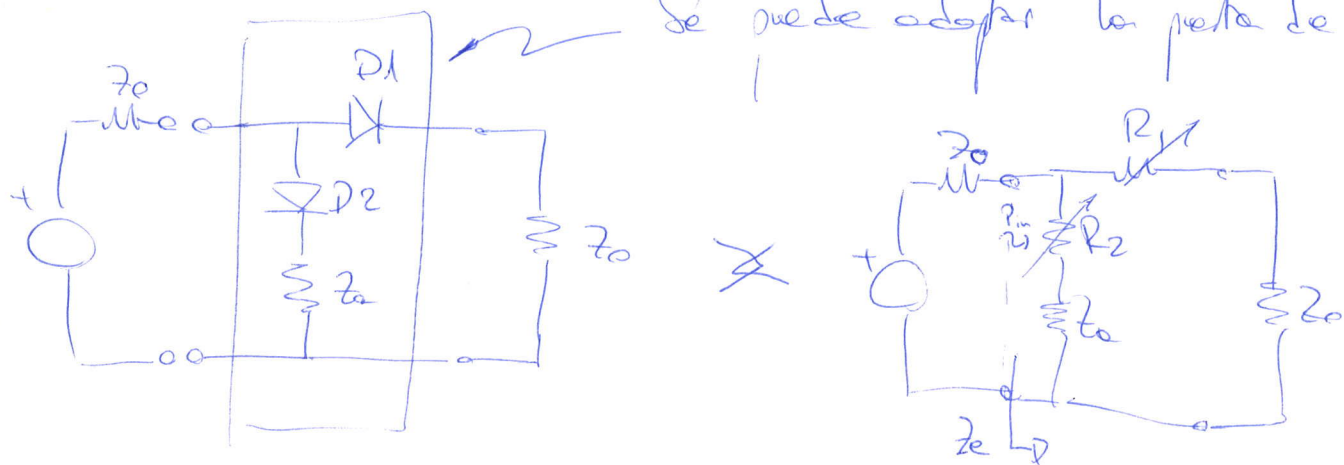
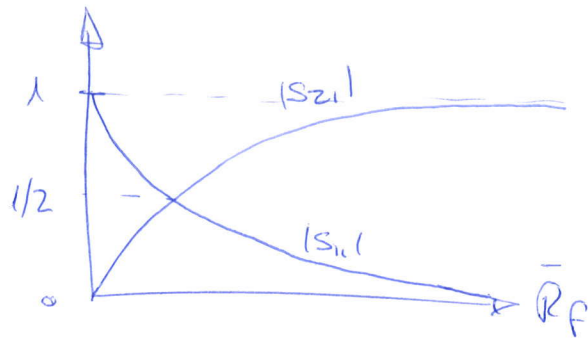
Nombrante $S_{12}(V_c) = S_{21}(V_c)$



$$S_{11} = \frac{-Y}{2+Y} = \frac{-1}{1+2R_f} \quad \rightsquigarrow \quad \boxed{1}$$

$$S_{21} = \frac{2}{2+Y} = \frac{2R_f}{1+2R_f} \quad |S_{11}| + |S_{21}| = 1$$

Gancho más sencillo, más fácil de tener



$$S_{11} = 0 \Rightarrow Z_e = Z_0 \Rightarrow Y_e = Y_0 = \frac{1}{Z_0 + R_2} + \frac{1}{Z_0 + R_1}$$

$$R_1 R_2 = Z_0^2$$

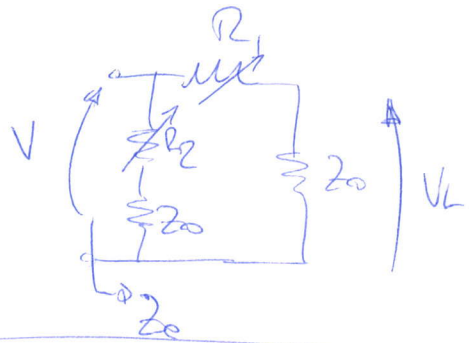
$$\left. \begin{aligned} R_1 &= \frac{1/\alpha}{I_1} \\ R_2 &= \frac{1/\alpha}{I_2} \end{aligned} \right\} I_1 I_2 = \frac{(1/\alpha)^2}{Z_0^2}$$

$$\left. \begin{aligned} I_1 &= I_{se} e^{\alpha V_1} \\ I_2 &= I_{se} e^{\alpha V_2} \end{aligned} \right\} \Rightarrow V_1 + V_2 = -\frac{2}{\alpha} \ln \alpha I_s Z_0$$

$$A_f = \frac{P_{dg}}{P_L} = \frac{\frac{P_{dg}}{P_{in}}}{\frac{P_{in}}{P_L}} = \frac{R_i}{R_L}$$

$\cancel{P_{in}}$

$\cancel{R_{dg} = 1}$



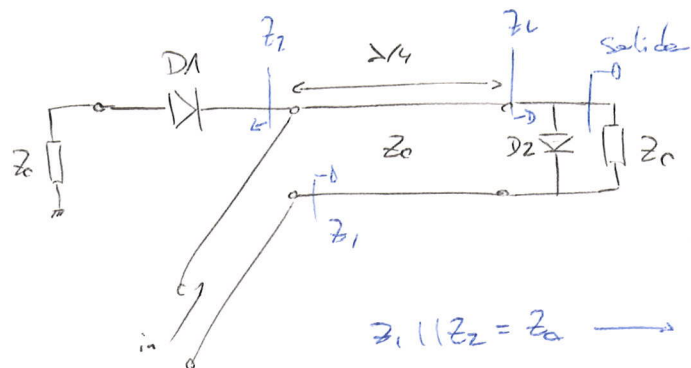
$$R_i = \frac{1}{2} \frac{V^2}{Z_0}$$

$$P_L = \frac{1}{2} \frac{V_L^2}{Z_0}$$

$$\left(A_f = \left| \frac{V}{V_L} \right|^2 = \left| \frac{Z_0 + R_L}{Z_0} \right|^2 \right)$$

$$= |1 + \frac{R_L}{Z_0}|^2$$

Ejercicio pág 157 (Categorización de variables)



$$Z_1 \parallel Z_2 = Z_0 \rightarrow Y_1 + Y_2 = Y_0$$

$$G_1 = 1/R_1$$

$$G_2 = 1/R_2$$

$$Z_1 = \frac{Z_0^2}{Z_2} ; \quad Y_1 = \frac{Y_0^2}{Y_2} = \frac{Y_0^2}{G_2 + Y_0}$$

$$Y_2 = \frac{1}{Z_0 + G_2} = \frac{G_1 Y_0}{G_1 + Y_0}$$

$$Y_1 + Y_2 = Y_0 = \frac{Y_0^2}{G_2 + Y_0} + \frac{G_1 Y_0}{G_1 + Y_0} \rightarrow (G_1 + Y_0)(G_2 + Y_0) = Y_0(G_1 + Y_0) + G_1(G_2 + Y_0)$$

$$Y_0^2 + Y_0(G_1 + G_2) + G_1 G_2 = Y_0^2 + Y_0(G_1 + G_2) + G_1 G_2$$

$$G_1 + G_2 = G_1 + G_1 \Rightarrow \boxed{G_1 = G_2 \Rightarrow R_1 = R_2}$$

$$P_{Y_1} = P_{in} \cdot \frac{Re(Y_1)}{Re(Y_1 + Y_2)} = P_{in} \cdot \frac{Y_0^2 / (Y_0 + G_2)}{Y_0} = P_{in} \cdot \frac{Y_0}{Y_0 + G_2}$$

$$P_{Salida} = P_{Y_1} \cdot \frac{Re(Y_0)}{Re(G_2 + Y_0)} = P_{in} \cdot \left(\frac{Y_0}{Y_0 + G_2} \right)^2$$

$$\boxed{A_{ff} = \left(\frac{Y_0 + G_2}{Y_0} \right)^2}$$

Estructura física de los diodos PIN

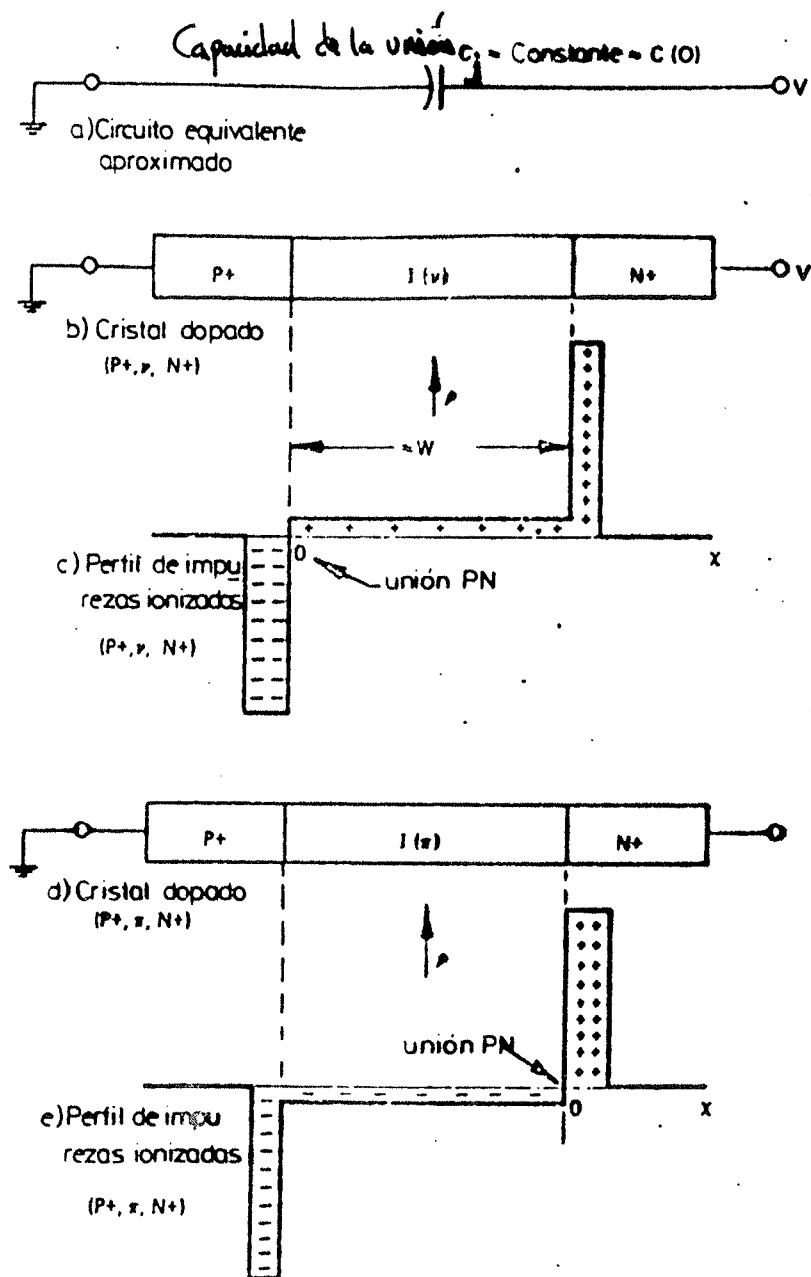


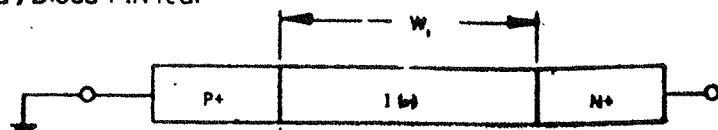
Fig. 1. Perfiles ideales de impurezas en los dos tipos de diodos PIN.

Perfiles ideales \Rightarrow Perfiles de impurezas ionizadas con variación abrupta.

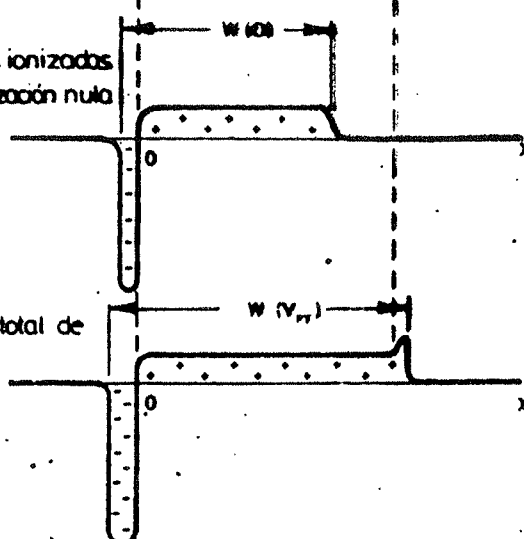
* En su interior se completa totalmente ionizado.

- Diodo PIN real \Rightarrow
 - * perfil de impurezas variación mas brusca
 - * región I no tiene todas las impurezas ionizadas cuando la polarización es nula

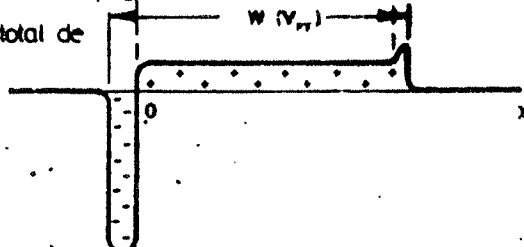
a) Diodo PIN real



b) Impurezas ionizadas con polarización nula



c) Ionización total de la región



d) $C(V)$
medida
1MHz

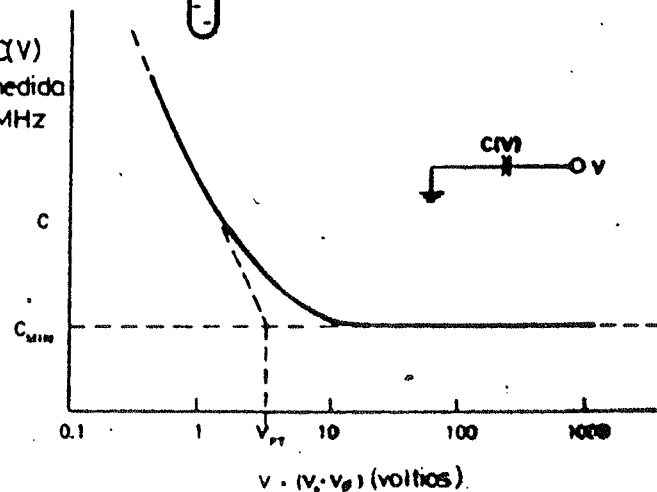


Fig. 2. Diodo PIN real y variación de su capacidad con la tensión.

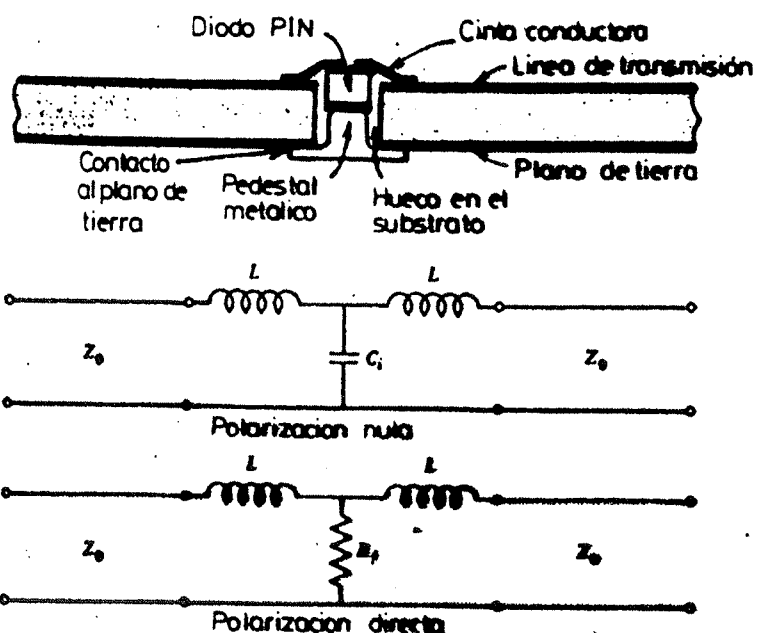


Fig. 5. Diodo sin encapsular montado en paralelo sobre una línea microstrip.

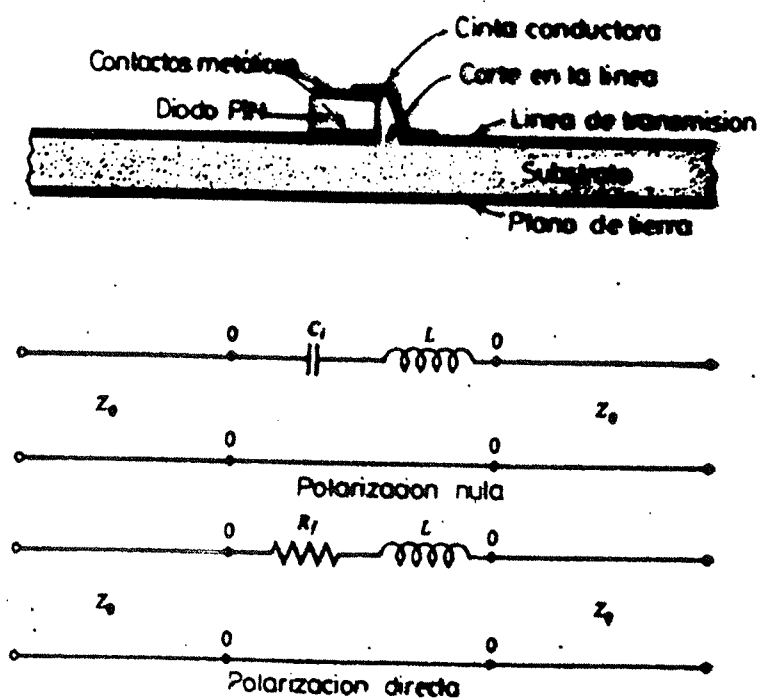


Fig. 6. Liodo sin encapsular montado en serie sobre una línea microstrip.

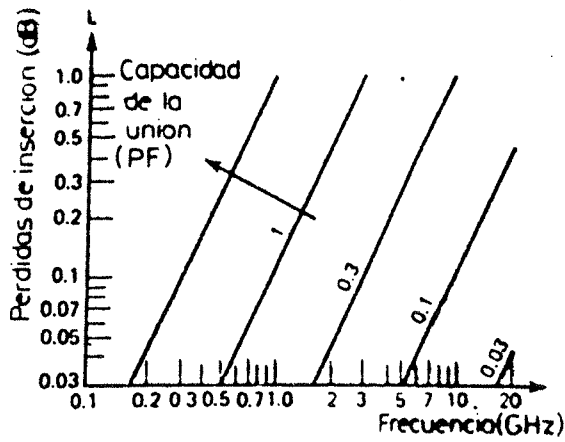


Fig. 7. Pérdidas de inserción de un diodo en paralelo.

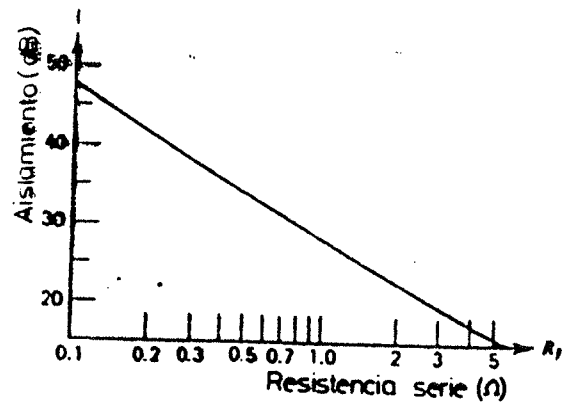


Fig. 8. Aislamiento de un diodo en paralelo.

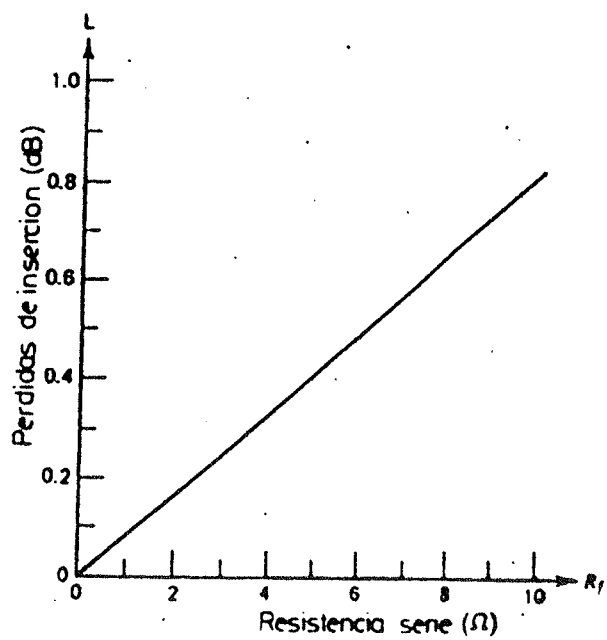


Fig. 9. Pérdidas de inserción de un diodo en serie.

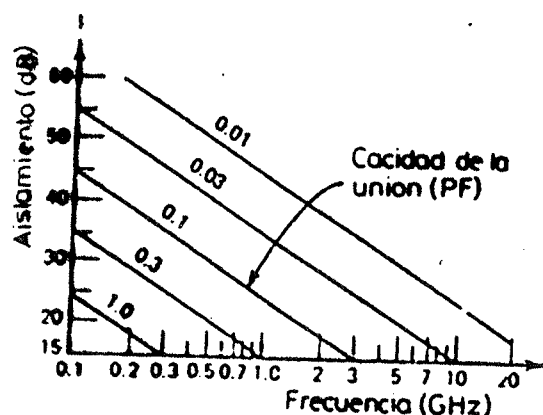


Fig. 10. Aislamiento de un diodo en serie.

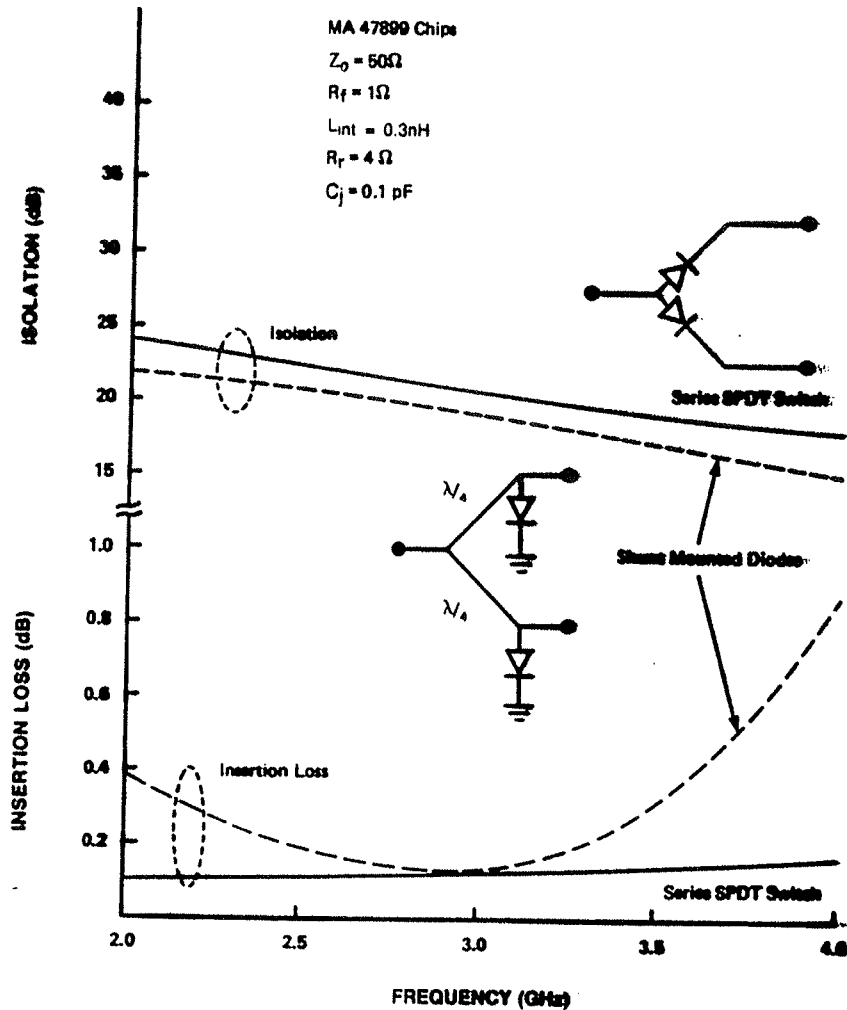


Figure 12.8 Typical insertion loss and isolation performance of SPDT switches using two pin diodes.

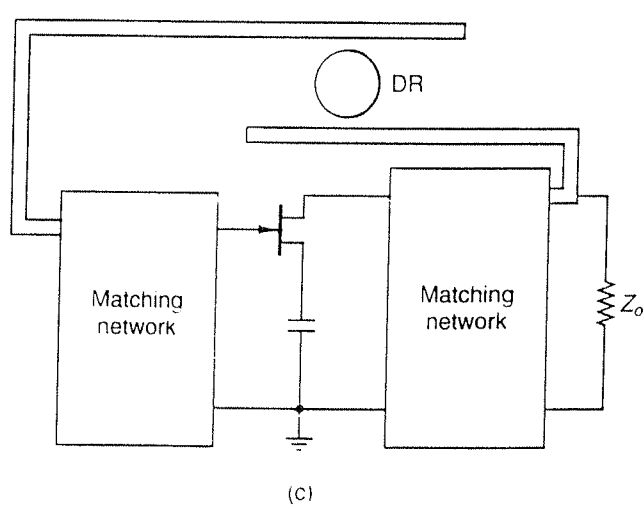
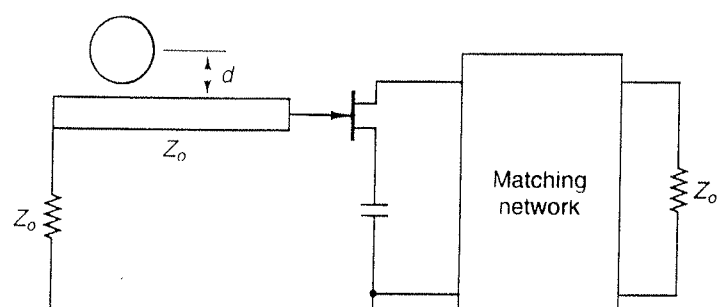
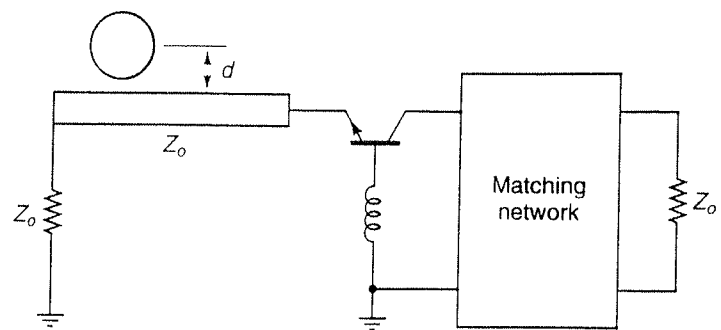
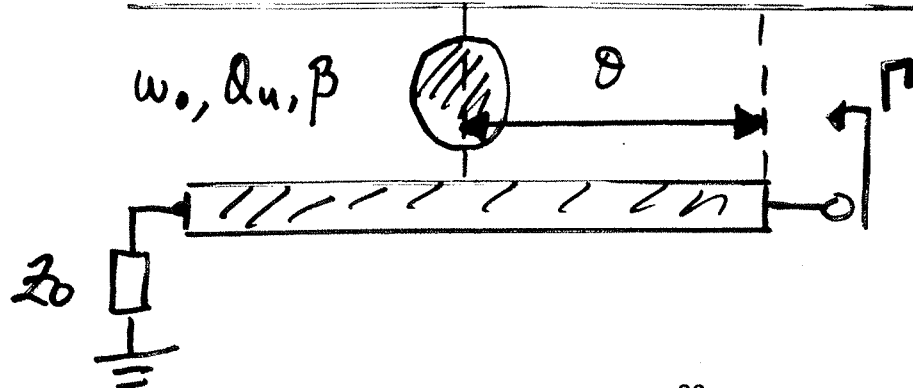


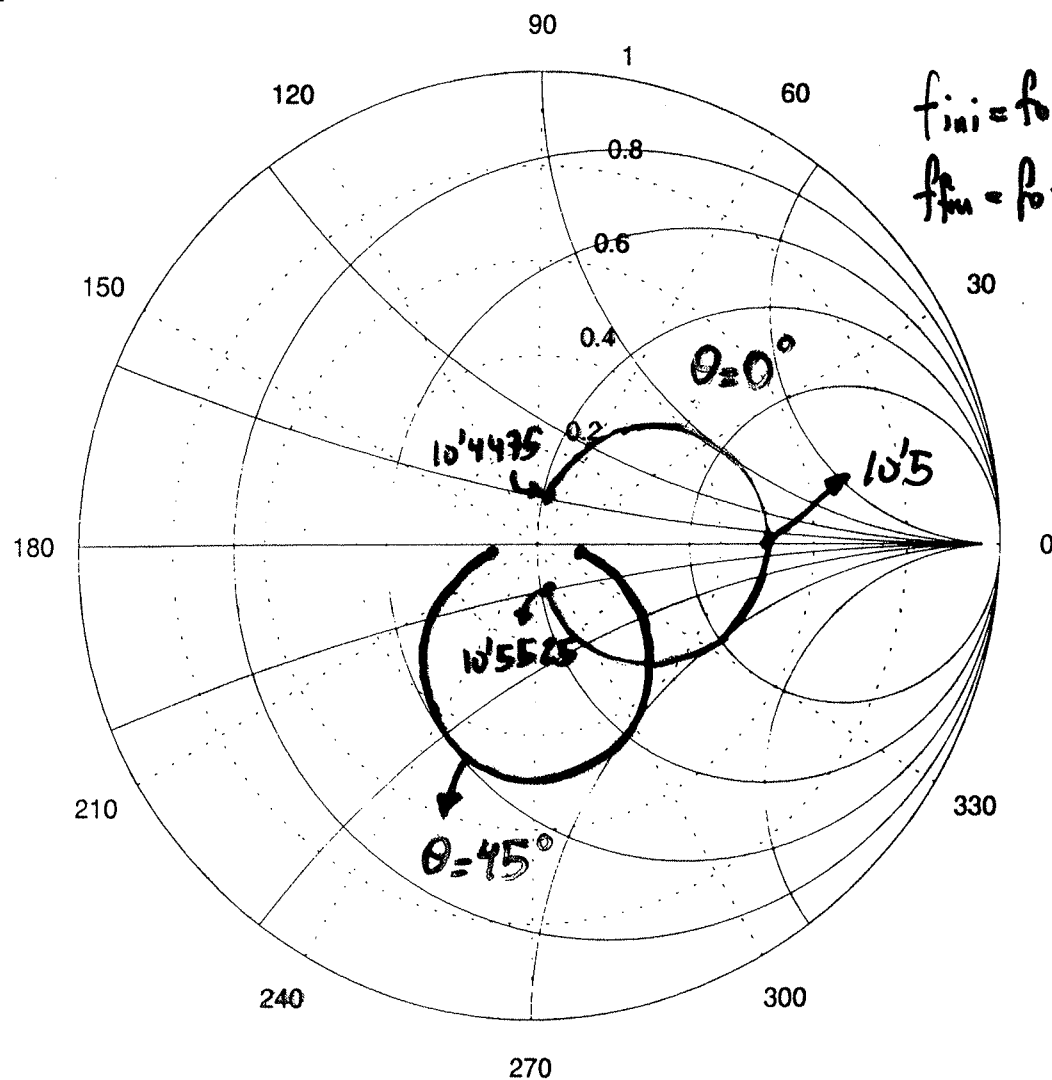
Figure 5.5.9 (a) A series feedback DRO using a BJT; (b) a series feedback DRO using a GaAs FET; (c) a parallel feedback DRO.

* Caracterizació del DR



Datos:

$Q_u = 1000$;
 $\beta = 1$; $f_0 = 10^5 \text{ Hz}$

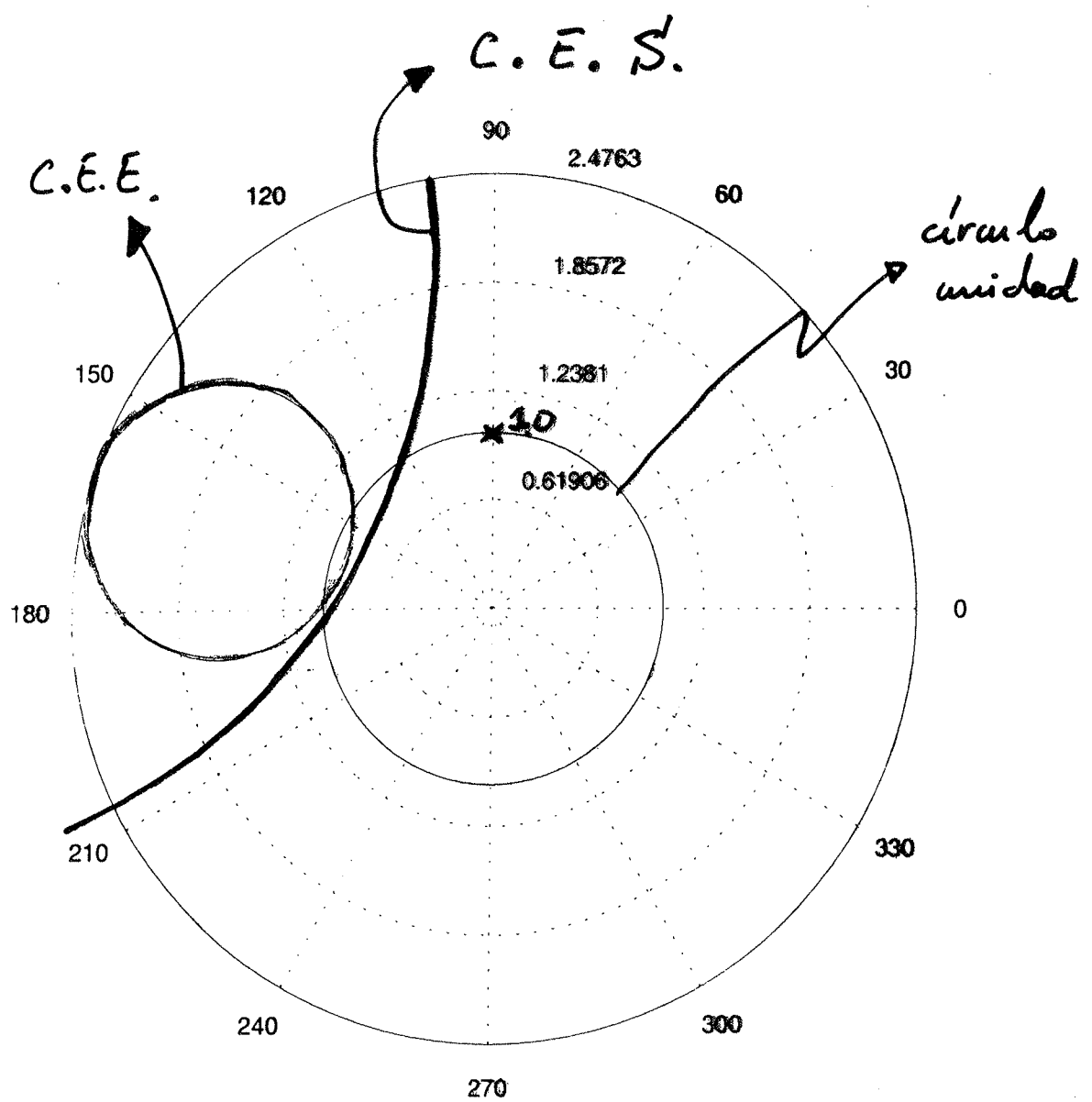


$$\Gamma(\omega) = \frac{\beta}{\beta + 1 + j Q_u \cdot \frac{\omega^2 - \omega_0^2}{\omega \cdot \omega_0}} \cdot e^{-j 2 \cdot \theta(\omega)}$$

$$\theta(\omega) = [\theta_0 - 0'005 \theta_0, \dots, \theta_0 + 0'005 \theta_0]$$

$$\alpha - B \cdot l = \omega \cdot l$$

* Curvas Estabilidad del ATF 36077



* Influencia de impedancia serie en "fuente"

Plano T_{in} : $S_{11} = S_{11} (jX_3)$

120

60

9.0357

6.7768

4.5179

2.2589

$-j$

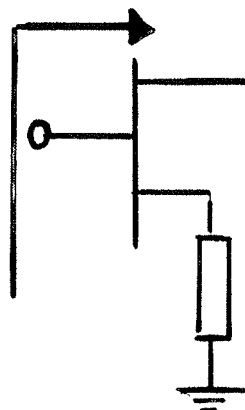
$-jz$

30

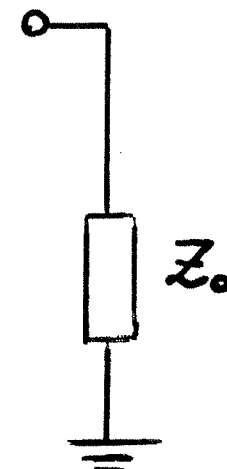
$j4$

$-j4$

S_{11}



$$Z_3 = jX_3$$

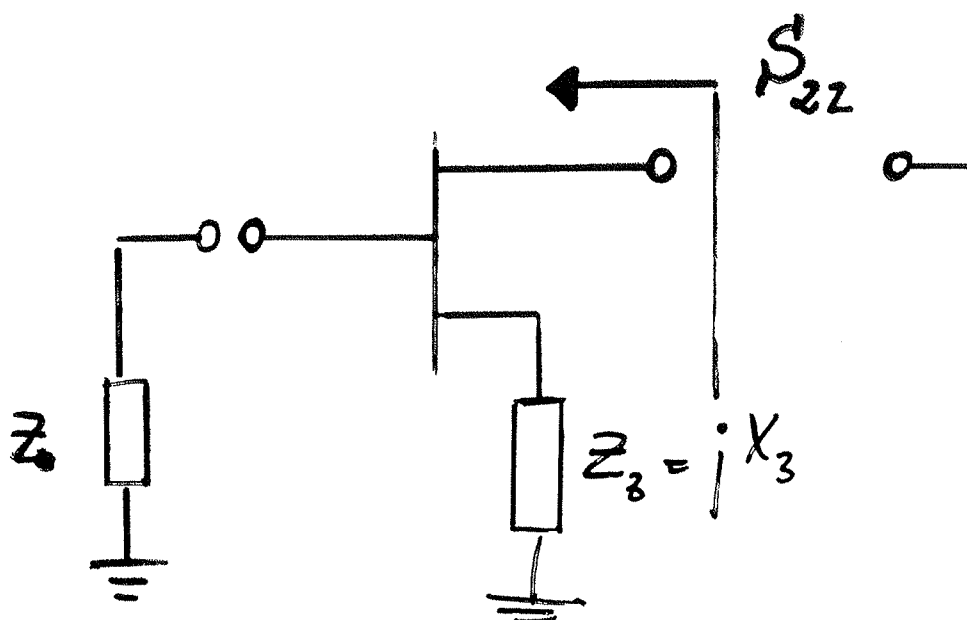
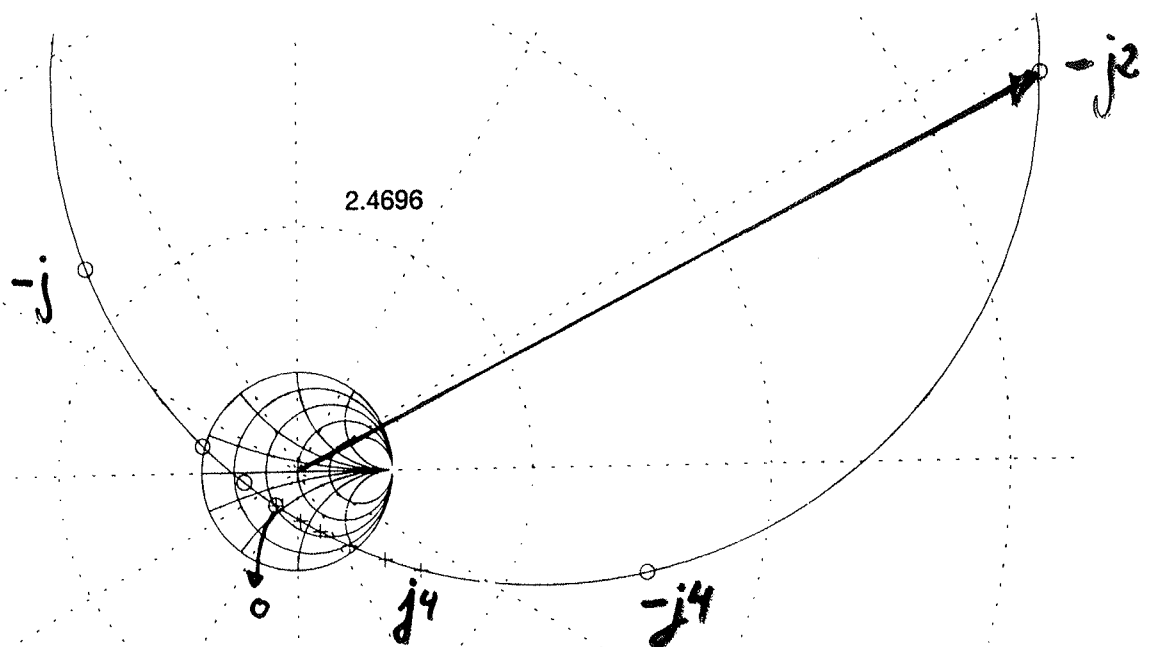


33C

* Influencia de impedancia serie en "fuente"

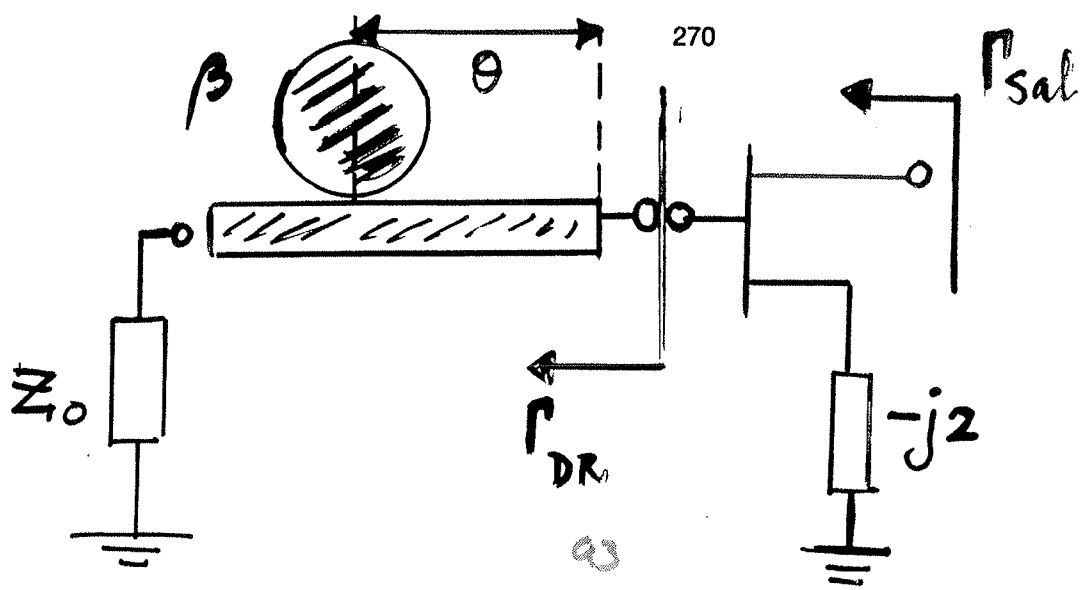
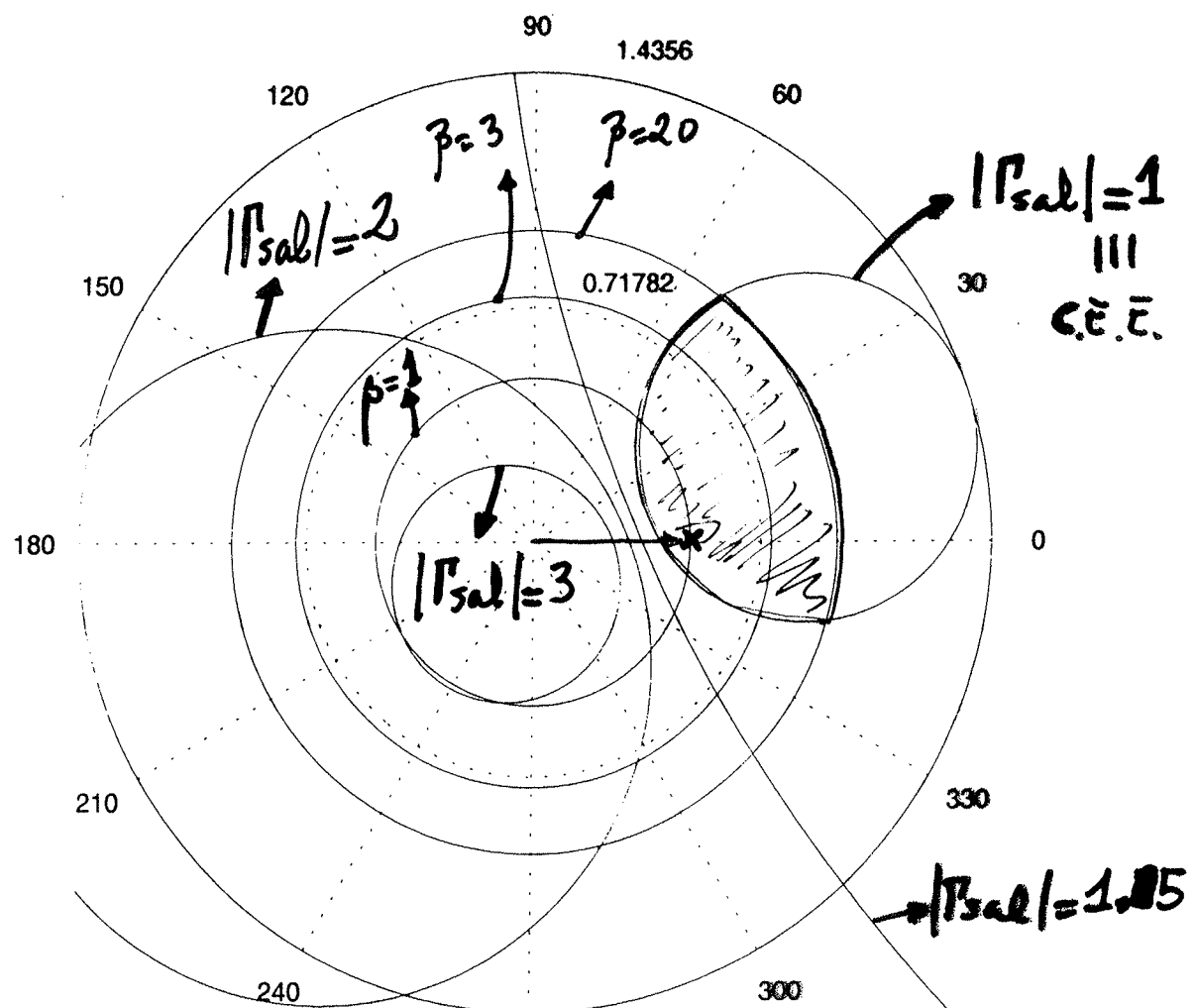
Plano Γ_{sal} : $S_{22} = S_{22} (jX_3)$

4.9392

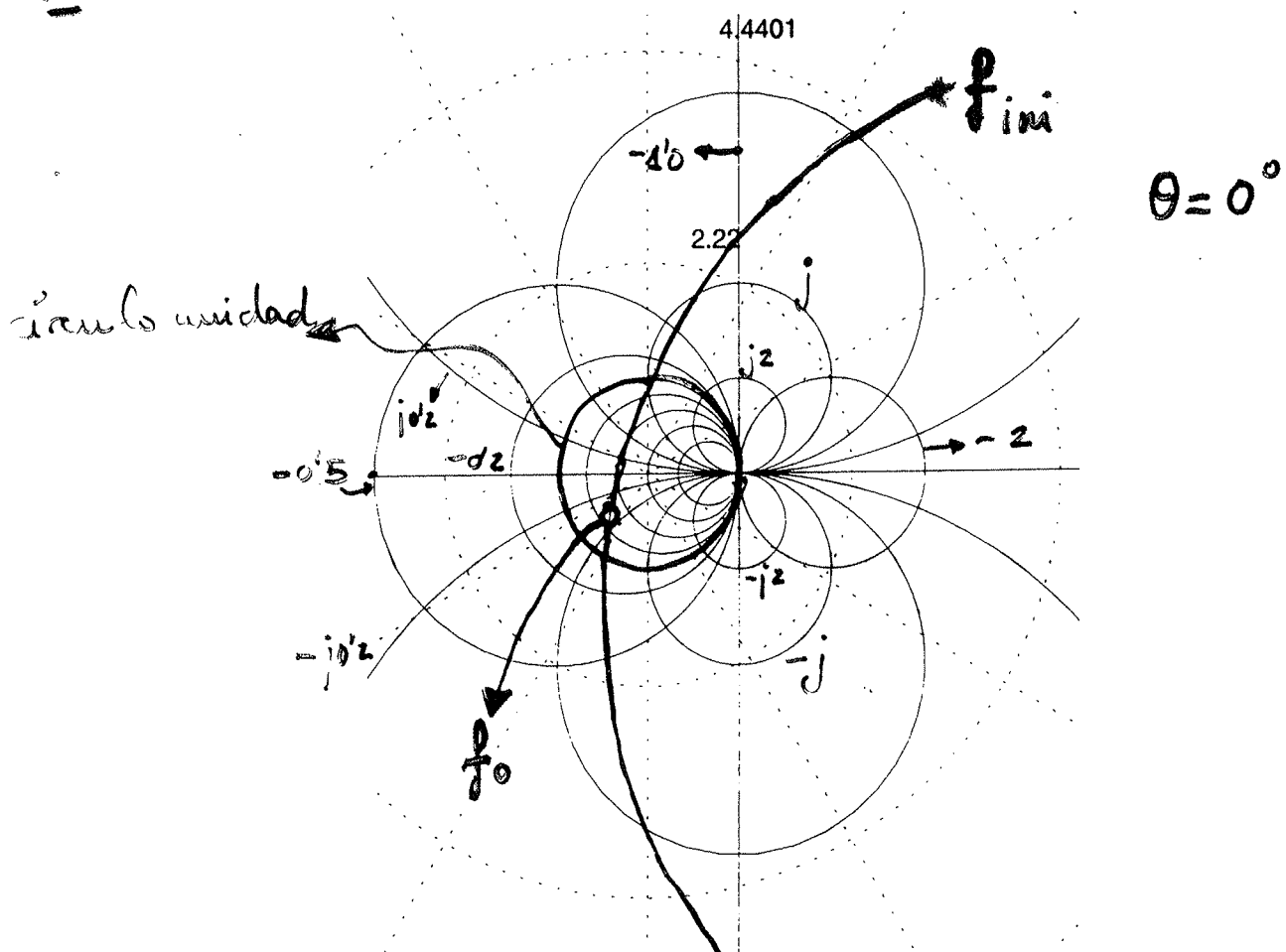
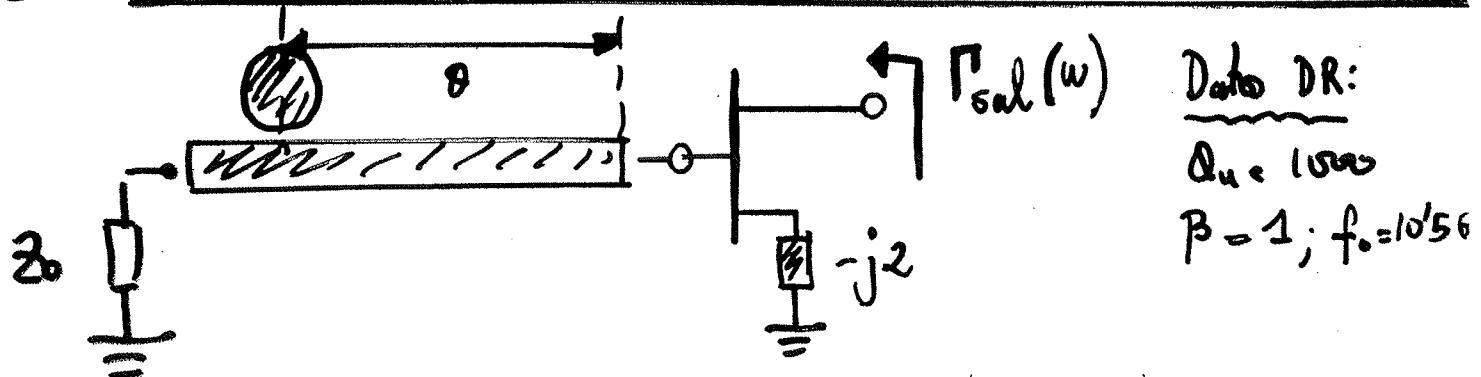


* Selección del Resonador Dielectrónico

Plano DR

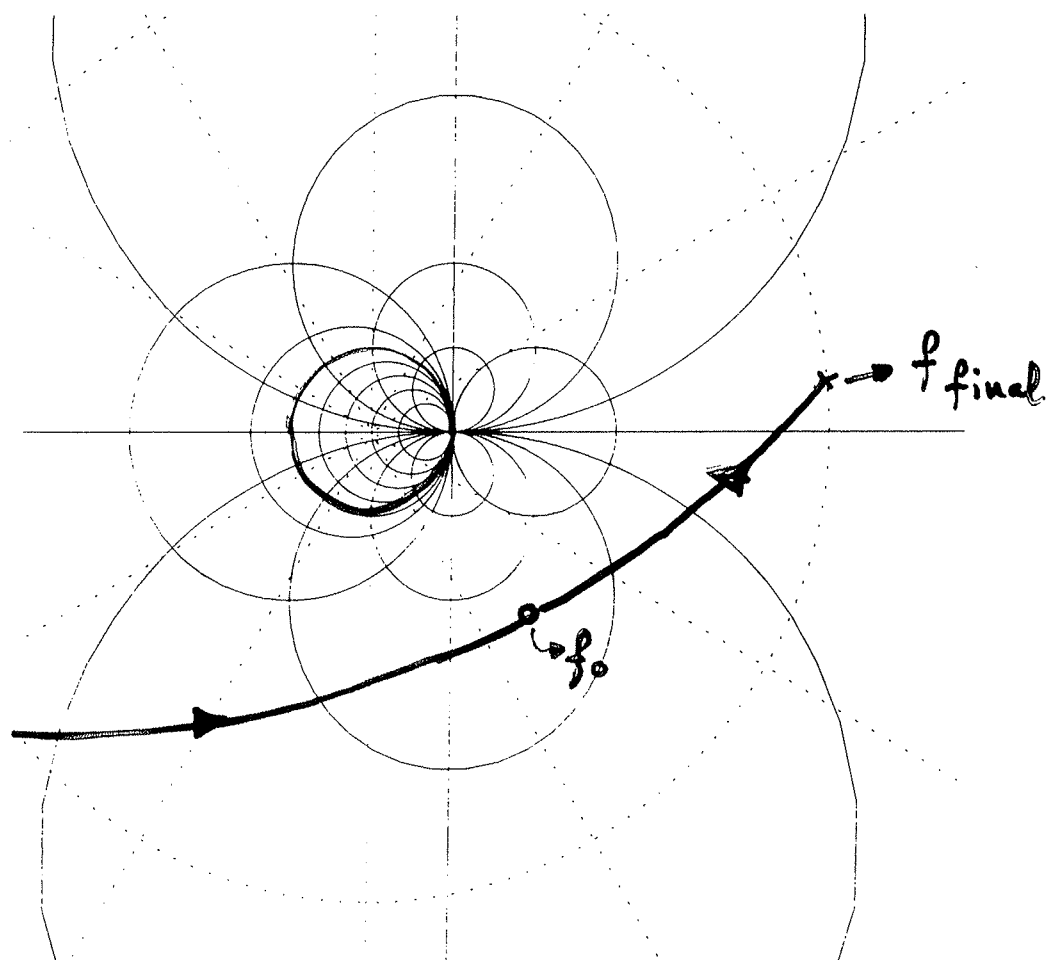


* Determinación del tramo de linea ' θ ':



$$\theta = 45^\circ$$

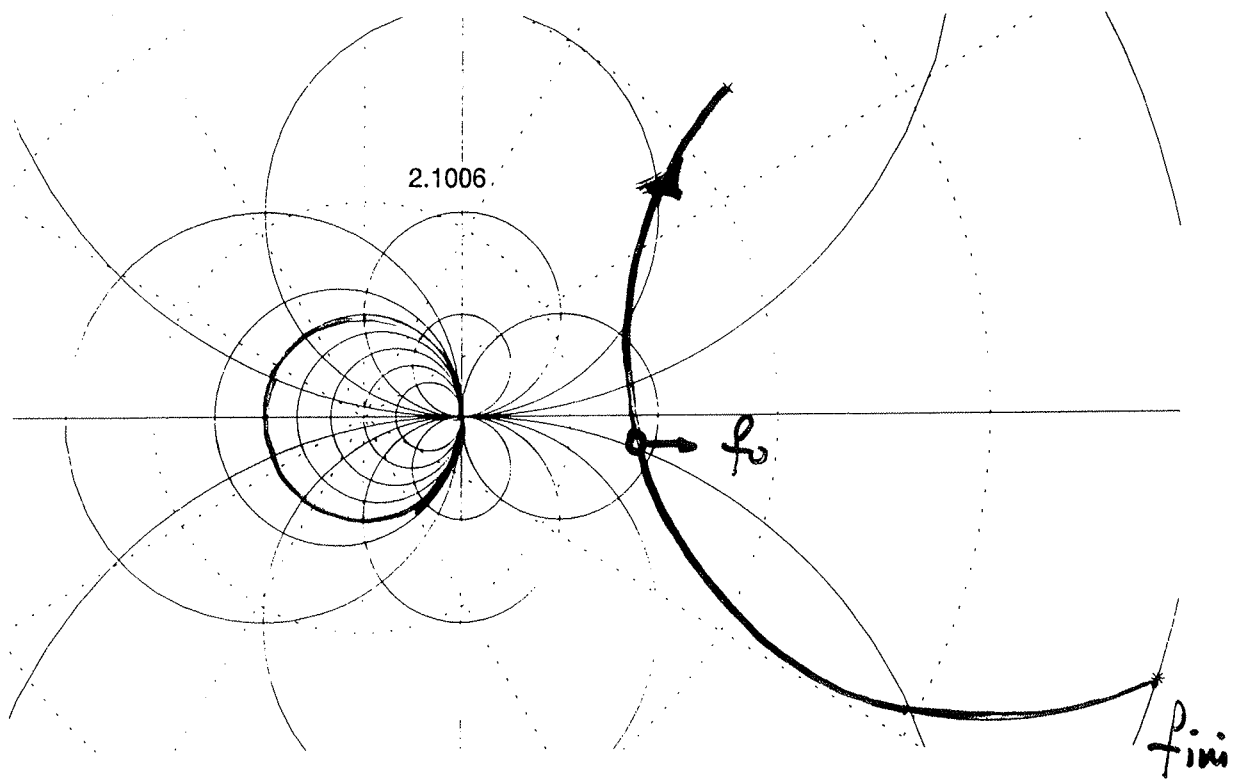
5.5779



$$\Theta = 90^\circ$$

30

4.2012



330

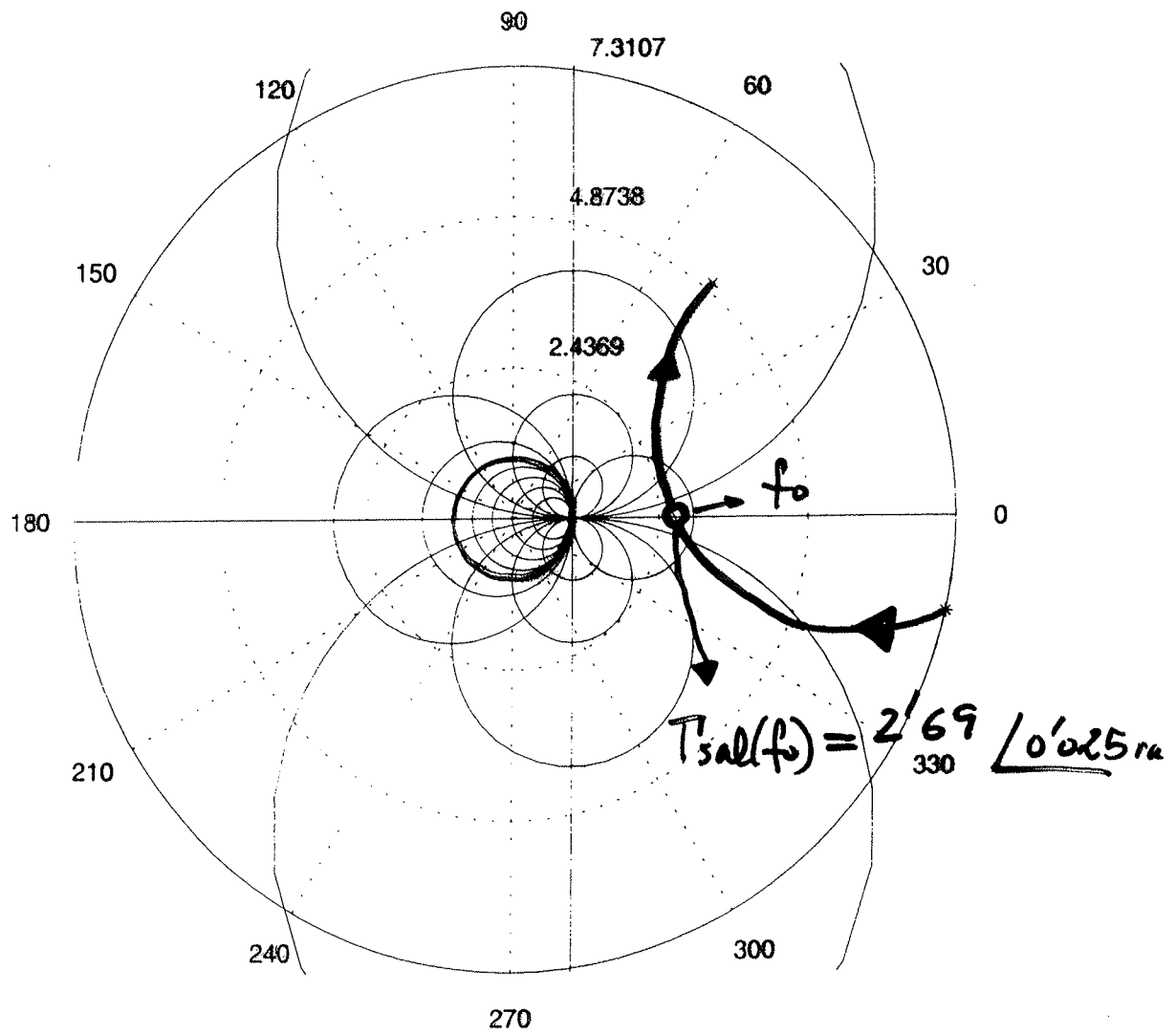
240

300

270

46

$$\theta = 98^\circ$$



$$T'_{sal}(w_0) = \frac{z_{sal} - z_0}{z_{sal} + z_0} = 2'69 \angle 0'025 \rightarrow \boxed{\begin{aligned} z_{sal} &= -109'1 + \\ &+ j2'35 \end{aligned}}$$

